

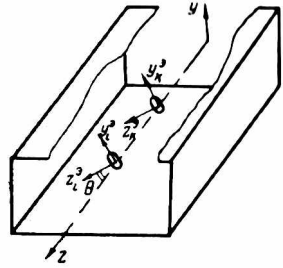
УДК 621.317.784

*А. И. СИРОТНИКОВ;*  
*В. С. ЖИЛКОВ*, канд. техн. наук;  
*Н. А. ХИЖНЯК*, д-р физ.-мат. наук

**ЭЛЕКТРОДИНАМИЧЕСКИЙ АНАЛИЗ ХАРАКТЕРИСТИК  
НЕЭКВИДИСТАНТНОГО ПОНДЕРОМОТОРНОГО ДАТЧИКА  
СВЧ-МОЩНОСТИ**

В последнее время был весьма эффективно решен ряд прикладных задач техники СВЧ с помощью метода интегрирования

ренциальных уравнений, развитого в работах [1—4]. Рассматривались особенности распространения электромагнитных волн в волноводах прямоугольного и круглого сечений при наличии эллипсоидальных неоднородностей. На основе полученных результатов разработана методика расчета трансформаторов полных сопротивлений, экспериментальная проверка которой дала хорошие результаты. Проводился также анализ характеристик пондеромоторных датчиков простейшего типа [5—9]. Имеются сообщения о разработке переходных устройств с широкополосными характеристиками, согласование которых выполнено с помощью цепочки неоднородностей. Таким образом, очевиден интерес исследователей и разработчиков к этому методу анализа характеристик волноводов, нагруженных эллипсоидальными неоднородностями, и возможным применением результатов.



В настоящей работе рассматривается поведение многоэлементного пондеромоторного датчика СВЧ-мощности с учетом рассеянных элементами датчика полей.

Суммарный момент, действующий на решетку из  $N$  одинаковых элементов (см. рисунок), ищем в виде

$$\vec{T}^{\Sigma} = \sum_{k=1}^N \vec{T}_k, \quad (1)$$

где момент, действующий на  $k$ -й элемент в приближении квазистатики  $a \ll \lambda$  [7]:

$$\vec{T}_k = \frac{V}{2} \operatorname{Re} [\vec{P}_k, \vec{E}_k^*]. \quad (2)$$

Соответственно

$\vec{P}_k$  — вектор поляризации  $k$ -го элемента с учетом взаимного влияния;

$\vec{E}_k$  — напряженность электрического поля в точке  $k$  в отсутствие  $k$ -го эллипсоида.

Вектор поляризации

$$\vec{P}_k = \frac{\epsilon - 1}{4\pi} \vec{E}_{\text{вн}k}. \quad (3)$$

Здесь  $\vec{E}_{\text{вн}k}$  — внутреннее поле  $k$ -го эллипсоида, выраженное в волноводной системе координат.

В системе, связанной с  $k$ -м эллипсоидом,  $\vec{E}_{\text{вн}k}^{\circ}$  можно определить через поле  $\vec{E}_k^{\circ}$  [7]

$$\vec{E}_{\text{вн}k}^{\circ} = \hat{Q} \vec{E}_k^{\circ}, \quad (4)$$

где

$$\hat{Q} = \begin{bmatrix} Q_{xx} & 0 & 0 \\ 0 & Q_{yy} & 0 \\ 0 & 0 & Q_{zz} \end{bmatrix}. \quad (5)$$

Для эллипсоидов вида

$$\frac{x_3^2}{a^2} + \frac{y_3^2}{a^2} + \frac{z_3^2}{c^2} = 1 \quad (6)$$

компоненты матрицы  $\hat{Q}$

$$Q_{xx} = Q_{yy} = [1 - (\varepsilon - 1) J_0^{200}]^{-1}; \quad (7)$$

$$Q_{zz} = [1 - (\varepsilon - 1) J_0^{002}]^{-1}.$$

Так как поля  $\vec{E}_k$  обычно известны в волноводной системе координат, то

$$\vec{E}_{\text{вн}k}^{\rightarrow} = \hat{Q} \hat{C} \vec{E}_k, \quad (8)$$

при этом

$$\hat{C} = \begin{bmatrix} C_{xx} & 0 & 0 \\ 0 & C_{yy} & C_{yz} \\ 0 & C_{zy} & C_{zz} \end{bmatrix} - \quad (9)$$

ортогональная матрица перехода от волноводной системы координат к системе координат  $k$ -го эллипсоида. Когда все эллипсоиды повернуты под одинаковым углом  $\theta$ ,

$$\begin{aligned} C_{xx} &= 1; \quad C_{yy} = C_{zz} = \cos \theta; \\ -C_{yz} &= C_{zy} = \sin \theta. \end{aligned} \quad (10)$$

Переводя  $\vec{E}_{\text{вн}k}^{\rightarrow}$  из системы эллипсоида в систему волновода с помощью обратной матрицы, из (3) получаем

$$\vec{P}_k = \hat{A} \vec{E}_k, \quad (11)$$

где

$$\hat{A} \equiv \frac{\varepsilon - 1}{4\pi} \hat{C}^{-1} \hat{Q} \hat{C}. \quad (12)$$

Поскольку  $\hat{C}$  — ортогональная матрица

$$\hat{C}^{-1} = \tilde{\hat{C}}, \quad (13)$$

$$\hat{A} = \frac{\varepsilon - 1}{4\pi} \tilde{\hat{C}} \hat{Q} \hat{C} = \begin{bmatrix} A_{xx} & 0 & 0 \\ 0 & A_{yy} & A_{yz} \\ 0 & A_{zy} & A_{zz} \end{bmatrix}. \quad (14)$$

Поле  $\vec{E}_k$  представляет собой сумму поля в точке  $k$  в отсутствие всей системы  $\vec{E}_{0k}$  и рассеянного от всех эллипсоидов, за исключением  $k$ -го  $\sum_{i=1}^N \vec{E}_{\text{расс}ik}$ , где  $\vec{E}_{\text{расс}ik}$  — поле, рассеянное  $i$ -м эллипсоидом в точке  $k$ ; штрих означает суммирование по всем элементам кроме  $k$ -го. В этом случае

$$\vec{E}_k = \vec{E}_{0k} + \sum_{i=1}^N \vec{E}_{\text{расс}ik}, \quad (15)$$

где

$\vec{E}_{0k} = \vec{E}_{\text{пад}k} [1 + |\Gamma| e^{i\psi}]$  (16) — падающее поле в точке  $k$  с учетом коэффициента отражения нагрузки;

$\psi_k = \varphi - 2\beta z_k$  — фаза коэффициента отражения нагрузки в точке  $k$ ;

$\vec{E}_{\text{пад}k}$  — падающее поле основной волны в точке  $k$ .

В системе координат, связанной с  $i$ -м эллипсоидом [8],

$$\vec{E}_{\text{расс}ik}^s = \hat{F}_{ik} \vec{E}_{\text{пад}i}^s \quad (17)$$

и для  $l \ll \lambda$  можно показать, что

$$\hat{F}_{ik} = t_{ik} \hat{F} = t_{ik} \begin{bmatrix} F_{xx} & 0 & 0 \\ 0 & F_{yy} & F_{yz} \\ 0 & F_{zy} & F_{zz} \end{bmatrix}; \quad (18)$$

$$F_{xx} = -\frac{(\epsilon - 1)V}{4\pi};$$

$$F_{yy} = \frac{(\epsilon - 1)V}{4\pi} (3 \sin^2 \theta - 1); \quad (19)$$

$$F_{yz} = F_{zy} = -\frac{(\epsilon - 1)V}{4\pi} (3 \sin \theta \cos \theta);$$

$$F_{zz} = \frac{(\epsilon - 1)V}{4\pi} (3 \cos^2 \theta - 1).$$

При этом

$$t_{ik} = \frac{1}{|l_{ik}|^3}; \quad (20)$$

$$l_{ik} = z_i - z_k. \quad (21)$$

Тогда

$$\vec{E}_{\text{расс}lk}^{\circ} = t_{lk} \widehat{F} \vec{E}_{\text{вн}l}^{\circ} \quad (22)$$

Переводим  $\vec{E}_{\text{расс}lk}^{\circ}$  в волноводную систему координат

$$\vec{E}_{\text{расс}lk} = t_{lk} \widetilde{C} \widehat{F} \vec{E}_{\text{вн}l}^{\circ} \quad (23)$$

и запишем  $\vec{E}_{\text{вн}l}^{\circ}$  также в волноводной системе координат с помощью (8). Получаем

$$\vec{E}_{\text{расс}lk} = t_{lk} \widehat{B} \vec{E}_l \quad (24)$$

Подставляя (24) в (16), получаем систему  $N$  векторных уравнений для определения полей

$$\vec{E}_k = \vec{E}_{ok} + \widehat{B} \sum_{l=1}^{N'} t_{lk} \vec{E}_l \quad (25)$$

Здесь

$$\widehat{B} = \widetilde{C} \widehat{F} \widehat{Q} \widehat{C} = \begin{bmatrix} B_{xx} & 0 & 0 \\ 0 & B_{yy} & B_{yz} \\ 0 & B_{zy} & B_{zz} \end{bmatrix} \quad (26)$$

Рассмотрим в качестве частного случая систему, состоящую из 2-х элементов и расположенную посередине волновода.

Когда эллипсоиды повернуты под углом  $\theta=45^\circ$ , компоненты матриц  $\widehat{A}$  и  $\widehat{B}$  имеют следующий вид:

$$\begin{aligned} A_{xx} &= \frac{\chi_1 - \chi_2}{2}; \\ A_{yy} &= A_{zz} = \frac{\chi_1}{2}; \end{aligned} \quad (27)$$

$$A_{yz} = A_{zy} = \frac{\chi_2}{2};$$

$$B_{xx} = -V \frac{\chi_1 - \chi_2}{2};$$

$$B_{yy} = -V \frac{\chi_1}{2}; \quad (28)$$

$$B_{yz} = -V \frac{\chi_2}{2};$$

$$B_{zy} = V \chi_2;$$

$$B_{zz} = V \chi_1;$$

где

$$\chi_1 = \frac{\varepsilon - 1}{4\pi} \{ [1 - (\varepsilon - 1) J_0^{002}]^{-1} + [1 - (\varepsilon - 1) J_0^{200}]^{-1} \}; \quad (29)$$

$$\chi_2 = \frac{\varepsilon - 1}{4\pi} \{ [1 - (\varepsilon - 1) J_0^{0'02}]^{-1} - [1 - (\varepsilon - 1) J_0^{2'00}]^{-1} \}.$$

В случае падения доминантного мода  $H_{10}^{\square} \vec{E}_{\text{пад}k}$  имеет только  $y$ -компоненту

$$E_{\text{пад}k} = -j \frac{kd}{\pi} H_m e^{j\beta z k}. \quad (30)$$

Тогда для  $x$ -компоненты момента

$$T_{kx} = -\frac{V}{2} \text{Re} \{ P_{kz} E_{ky}^* \}, \quad (31)$$

где

$$P_{kz} = A_{zy} E_{ky} + A_{zz} E_{kz}. \quad (32)$$

Из (25) находим  $y$ - и  $z$ -компоненты:

$$E_{ky} - \sum_{i=1}^N t_{ik} (B_{yy} E_{iy} + B_{zy} E_{iz}) = E_{0ky}; \quad (33)$$

$$E_{kz} - \sum_{i=1}^N t_{ik} (B_{zy} E_{iy} + B_{zz} E_{iz}) = 0.$$

Для двухэлементной решетки

$$E_{1y} + \frac{Vt}{2} (\chi_1 E_{2y} + \chi_2 E_{2z}) = E_{01y};$$

$$E_{1z} - Vt (\chi_2 E_{2y} + \chi_1 E_{2z}) = 0; \quad (34)$$

$$E_{2y} + \frac{Vt}{2} (\chi_1 E_{1y} + \chi_2 E_{1z}) = E_{02y};$$

$$E_{2z} - Vt (\chi_2 E_{1y} + \chi_1 E_{1z}) = 0,$$

где из (20) — (21)

$$t = t_{12} = t_{21} = \frac{1}{j^3}. \quad (35)$$

Отбрасывая в решении (34) все члены порядка  $(Vt)^2$  и выше, получаем

$$E_{1y} = E_{01y} - \frac{Vt\chi_1}{2} E_{02y}; \quad (36)$$

$$E_{2y} = E_{02y} - \frac{Vt\chi_1}{2} E_{01y}.$$

Тогда из (32) и (27)

$$P_{1z} = \frac{\chi_2}{2} E_{1y}; \quad (37)$$

$$P_{2z} = \frac{\chi_2}{2} E_{2y}.$$

Далее путем несложных преобразований получаем

$$T^z = -8\pi \frac{V\chi_2}{vdh} \left( \frac{k\Pi}{\beta} \right) \left\{ 1 - \frac{V\chi_1}{l^3} \cos \beta l + 2|\Gamma| \left( \cos \beta l - \frac{V\chi_1}{l^3} \right) \times \right. \\ \left. \times \cos(\psi_1 + \beta l) + |\Gamma|^2 \left( 1 - \frac{V\chi_1}{l^3} \cos \beta l \right) \right\}; \quad (38)$$

а так как  $l \ll \lambda$ , то

$$T^z = -8\pi \frac{V\chi_2}{sdh} \left( 1 - \frac{V\chi_1}{l^3} \right) \left( \frac{k\Pi}{\beta} \right) (1 + 2|\Gamma| \cos \psi_1 + |\Gamma|^2). \quad (39)$$

Следует отметить, что при уменьшении  $l$  формулы остаются справедливыми лишь до тех пор, пока  $\frac{V\chi}{l^3} < 1$ .

Итак, получены общие соотношения, позволяющие рассчитать момент пондеромоторных сил, действующих на датчики с произвольным числом элементов, с учетом рассеянных каждым элементом датчика полей, т. е. взаимного влияния элементов датчика друг на друга.

При увеличении  $l$  формула (38) переходит в известное соотношение [6] без учета взаимного влияния.

Метод позволяет учесть влияние высших типов волн, возникающих при рассеянии падающей волны на каждом из элементов датчика.

## ЛИТЕРАТУРА

1. Хижняк Н. А. Рассеяние электромагнитных волн на малых телах в волноводах. — Сб. «Радиотехника», Вып. 4, Харьков, 1967, с. 88—97.
2. Хижняк Н. А. Теория волноводов, нагруженных полубесконечной цепочкой однородных рассеивающих тел. — Сб. «Радиотехника», Вып. 15, Харьков, 1970, с. 93—97.
3. Попов В. А., Хижняк Н. А. Теория резонаторов, нагруженных резонансным возмущающим телами. — Сб. «Радиотехника», Вып. 21, Харьков, 1972, с. 117—130.
4. Украинец Н. И., Хижняк Н. А. Особенности резонансного рассеяния электромагнитных волн на эллипсоидальной неоднородности в прямоугольном волноводе. — Сб. «Радиотехника», Вып. 25, Харьков, 1973, с. 105—113.
5. Жилков В. С., Сиротников А. И., Хижняк Н. А. О погрешности однопластинчатого пондеромоторного ватметра, обусловленной высшими типами волн. — Сб. «Радиотехника», Вып. 21, Харьков, 1972, с. 165—169.

6. Жилков В. С., Сиротников А. И. О погрешности двухпластинчатого пондеромоторного ваттметра, обусловленной высшими типами волн.— Сб. «Радиотехника», Вып. 22, Харьков, 1972, с. 100—102.
7. Хижняк Н. А. Расчет пондеромоторных сил. Отчет о НИР № 594. ХГУ, 1971. 64 с.
8. Момент пондеромоторных сил, действующих на систему двух жестко связанных тел правильной формы в прямоугольном волноводе. — Сб. «Радиотехника». Вып. 26. Харьков, 1973, с. 105—117. Авт.: Н. А. Хижняк, Л. К. Гал, В. С. Жилков и др.
9. Сиротников А. И., Жилков В. С., Хижняк Н. А. Пондеромоторное действие электромагнитного поля на диэлектрический эллипсоид с потерями. — Сб. «Радиотехника». Вып. 29. Харьков, 1974, с. 146—148.
10. Ландау Л. Д., Лифшиц Е. М. Электродинамика сплошных сред. М., Гостехиздат, 1957, 532 с.